

УДК 539.12.01

## НОВЫЕ ТИПЫ РЕШЕНИЙ КЛАССИЧЕСКИХ ТРЕХМЕРНЫХ SU(2)-УРАВНЕНИЙ ЯНГА–МИЛЛСА

© 2020 г. Член-корреспондент РАН А. Б. Борисов<sup>1,2,\*</sup>

Поступило 23.06.2020 г.  
После доработки 07.07.2020 г.  
Принято к публикации 08.07.2020 г.

Найдены новые типы трехмерных решений классических уравнений Янга–Миллса в представлении Фаддеева–Ниemi. В частном случае они описывают трехмерные вихри.

*Ключевые слова:* уравнения Янга–Миллса, уравнения дуальности, представление Фаддеева–Ниemi, калибровочные поля

DOI: 10.31857/S2686740020050053

В последние годы уравнения Янга–Миллса находят все более широкое применение в физике конденсированных сред [1]. При этом наибольший интерес представляют топологические и сингулярные структуры в этих средах. Функционал Янга–Миллса в евклидовом пространстве  $R^4$  с координатами  $(x_1, x_2, x_3, x_4)$  имеет вид

$$S = \int \frac{1}{4} \mathbf{F}_{\mu\nu} \mathbf{F}_{\mu\nu} d^4x, \quad (1)$$

где тензор  $\mathbf{F}_{\mu\nu}$  выражается через поле  $\mathbf{A}_\mu = (A_\mu^1, A_\mu^2, A_\mu^3)$ :

$$\mathbf{F}_{\mu\nu} = \mathbf{A}_{\mu,\nu} - \mathbf{A}_{\nu,\mu} + \mathbf{A}_\mu \times \mathbf{A}_\nu,$$

зависящее от трех вещественных переменных  $(x_1, x_2, x_3)$ . Здесь и далее греческие буквы пробегают значения 1, 2, 3, 4, а латинские – 1, 2, 3, подстрочный индекс обозначает знак дифференцирования по независимым переменным  $\left( A_{\mu,\nu} = \frac{\partial A_\mu}{\partial x_\nu} \right)$ . Известно [2], что решения уравнений Янга–Миллса (минимизация функционала (1)) удовлетворяют уравнениям дуальности

$$\mathbf{F}_{\mu\nu} = \frac{1}{2} \varepsilon_{\mu\nu\alpha\beta} \mathbf{F}_{\alpha\beta}. \quad (2)$$

Для решения этих уравнений были использованы различные подстановки (см., например, обзор [3]). В этой работе мы исследуем решения уравнений ду-

альности в трехмерном евклидовом пространстве с координатами переменных  $x_i = (x_1, x_2, x_3)$ . Для этой цели удобно использовать представление Фаддеева–Ниemi [4, 5] для полей  $\mathbf{A}_\mu$ :

$$\mathbf{A}_\mu = -C_\mu \mathbf{n} - \sigma \frac{\partial \mathbf{n}}{\partial x_\mu} - (K - 1) \frac{\partial \mathbf{n}}{\partial x_\mu} \times \mathbf{n} \quad (3)$$

через вещественные поля  $C_\mu$ ,  $\sigma$ ,  $K$  и единичный вектор  $\mathbf{n}$ :

$$\mathbf{n} = (\cos \Phi(x_1, x_2, x_3) \sin \theta(x_1, x_2, x_3),$$

$$\sin \Phi(x_1, x_2, x_3) \sin \theta(x_1, x_2, x_3), \cos \theta(x_1, x_2, x_3)) \quad (4)$$

и положить  $C_4 = 0$ .

Задача поиска решений уравнения дуальности с использованием параметризации Фаддеева–Ниemi для калибровочного SU(2) поля Янга–Миллса сформулирована в статье [1]. Отметим также, что трехмерные структуры, в отличие от инстантонов, характеризуются бесконечным значением действия [1]. Установлено, что при решении уравнений дуальности удобно использовать замену

$$\begin{aligned} K(x_1, x_2, x_3) &= A(x_1, x_2, x_3) \sin B(x_1, x_2, x_3), \\ \sigma(x_1, x_2, x_3) &= A(x_1, x_2, x_3) \cos B(x_1, x_2, x_3). \end{aligned} \quad (5)$$

При этом в уравнения (2) входят только поля  $A$ ,  $\mathbf{W} = \mathbf{C} + \nabla B$ ,  $\Phi$ ,  $\theta$  и их производные. Эти поля инвариантны при калибровочном преобразовании матрицей  $U = \exp[i\alpha \mathbf{n} \sigma]$  группы SU(2) [4, 5] с параметром  $\alpha(x_1, x_2, x_3)$ . Поля  $\mathbf{C}$ ,  $B$  преобразуются как

$$\mathbf{B} \rightarrow \mathbf{B} + \alpha, \quad \mathbf{C} \rightarrow \mathbf{C} - \nabla \alpha.$$

Приравнивая нулю все компоненты разложения по степеням  $\exp[iB(x_1, x_2, x_3)]$  уравнений (2) (после подстановки (3), (4)), мы находим калибровочно

<sup>1</sup> Институт физики металлов им. М.Н. Михеева  
Уральского отделения Российской академии наук,  
Екатеринбург, Россия

<sup>2</sup> Уральский федеральный университет им. Б.Н. Ельцина,  
Екатеринбург, Россия

\*E-mail: borisov@imp.uran.ru

инвариантные дифференциальные уравнения в простом виде

$$\nabla\theta \times \nabla A + A \sin \theta (\nabla\Phi \times \mathbf{W}) = 0, \quad (6)$$

$$\sin \theta (\nabla\Phi \times \nabla A) - A (\nabla\Phi \times \mathbf{W}) = 0, \quad (7)$$

$$(1 - A^2) \sin \theta \mathbf{F} + \text{rot} \mathbf{W} = 0. \quad (8)$$

Здесь введены сокращенные обозначения:  $\mathbf{F} = \nabla\theta \times \nabla\Phi$ . Из уравнений (6), (7) или дивергенции уравнения (8) сразу следует дополнительное уравнение  $\mathbf{F} \cdot \nabla A = 0$  для поля  $A$ . Из теории дифференциальных уравнений первого порядка следует, что поле  $A$  зависит от двух независимых интегралов характеристической системы [6]. Нетрудно убедиться в том, что вследствие соотношений  $(\nabla\theta \cdot \mathbf{F}) = 0$ ,  $(\nabla\Phi \cdot \mathbf{F}) = 0$  эти интегралы являются произвольными функциями  $\theta$ ,  $\Phi$ . Однако, как показано далее, наиболее простое уравнение для  $A$  получается при выборе

$$A(x_1, x_2, x_3) = A(a(x_1, x_2, x_3), \Phi(x_1, x_2, x_3)), \quad (9)$$

где

$$\theta = 2 \text{arccot}(\exp - a). \quad (10)$$

Тогда из (6), (7) поле  $\mathbf{W}$  имеет простой вид:

$$\mathbf{W} = \frac{1}{A} \left( \frac{\partial A}{\partial \Phi} \nabla a + \frac{\partial A}{\partial a} \nabla \Phi \right). \quad (11)$$

Наконец, уравнение для поля  $T = \ln A$  можно найти подстановкой уравнений (9)–(11) в (8). Тогда все три уравнения (8) приводятся к одному уравнению

$$(1 - \exp[2T]) \text{ch}^{-2} a + T_{,aa} + T_{,\Phi\Phi} = 0. \quad (12)$$

Преобразованием  $T = TT + \ln(\text{cha})$  оно сводится к модифицированному уравнению Лиувилля:

$$\exp[2TT] + TT_{,aa} + TT_{,\Phi\Phi} = 0.$$

В итоге решения (12) определяются произвольной аналитической функцией  $G[\Omega]$ ,  $\Omega = a + i\Phi$  и комплексно сопряженной к ней  $G^*[\Omega]$ :

$$T = \ln(\text{cha}) + \frac{1}{2} \ln \left[ - \frac{4G^*[\Omega]G'[\Omega]}{(G[\Omega] + G^*[\Omega])^2} \right]. \quad (13)$$

В общем случае структуры, определяемые этим уравнением, сингулярны. Представленные здесь решения зависят от произвольных функций, и их полный анализ будет изложен в другом месте. Отметим также, что они не описывают всех трехмерных решений уравнений дуальности в теории Янга–Миллса. Так, они, в частности, не приводят к сферически симметричным решениям уравнений дуальности в  $SU(2)$ -теории Янга–Миллса, найденным в работе [9]. Исползованный в этой работе анзац удовлетворяет уравнениям

$$A_\mu^i n_i = A_a^b n_a = 0$$

и не совпадает с (3) ни при каких значениях полей. В нашем случае все поля зависят от параметров  $(a, \Phi)$ . Обсудим их выбор. Формула (4) представляет структуру “ежа”

$$\mathbf{n} = \frac{\mathbf{r}}{|\mathbf{r}|}$$

в сферической системе координат. В координатах  $(R, a, \Phi)$  евклидова метрика имеет вид

$$(ds)^2 = dR^2 + \text{ch}^{-2} a (da^2 + d\Phi^2). \quad (14)$$

Слагаемое  $d\bar{s}^2 = \text{ch}^{-2} a (da^2 + d\Phi^2)$  в переменных  $(\Omega = a + i\Phi, \Omega^* = a - i\Phi)$  имеет конформный вид

$$d\bar{s}^2 = \text{ch}^{-2} \left( \frac{\Omega + \Omega^*}{2} \right) d\Omega d\Omega^*,$$

и, следовательно, координаты  $(a, \Phi)$  являются конформными координатами [7]. Известно, что конформный вид метрики инвариантен относительно комплексно аналитических замен координат. Этот факт и отражает наличие  $G(\Omega)$  и  $G^*(\Omega)$  в формуле (13). В итоге в качестве параметров  $(a, \Phi)$  в формуле (12) можно выбрать любые две конформные координаты, которые параметризуют вектор  $r$  и классифицируют точные решения уравнения Янга–Миллса. Рассмотрим преобразование  $x_i = x_i(y_1, y_2, y_3)$ , где  $(y_1, y_2) = (a, \Phi)$ , при котором евклидова метрика  $ds^2 = dx_1^2 + dx_2^2 + dx_3^2$  преобразуется к виду

$$ds^2 = dx_i dx_i = \frac{\partial x_i}{\partial y_k} \frac{\partial x_i}{\partial y_j} dy_k dy_j = g_{kj} dy_k dy_j$$

и определяет метрический тензор  $g_{kj}$  и обратный ему  $g^{ik}$ :

$$g^{ik} = \frac{\partial y_i}{\partial x_j} \frac{\partial y_k}{\partial x_j}. \quad (15)$$

Тогда система криволинейных координат с ограничениями

$$g_{11} = g_{22}, \quad g_{12} = 0 \quad (16)$$

приводит к конформным координатам. Системы ортогональных координат  $g_{kj} = 0 (k \neq j)$  приведены во многих справочниках и монографиях (например, см. [8]). Наиболее интересными являются тороидальная  $(\sigma, \tau, \varphi)$  и биполярная  $(\sigma, \tau, \varphi)$  [8] системы координат. Положим  $\sigma = \Phi, \tau = a$  в тороидальной системе. Тогда

$$\Phi = \text{arctg} \frac{2Ax_3}{r^2 + z^2 - A^2}, \quad (17)$$

$$\theta = 2 \text{arctg} \sqrt{\frac{(r+A)^2 + x_3^2}{(r+A)^2 - x_3^2}}.$$

Здесь и далее  $r = \sqrt{x_1^2 + x_2^2}$ . Структура (17) описывает вихревое кольцо, центр которого лежит в плоскости  $x_3 = 0$  на окружности  $r = A$ , с топологическим зарядом

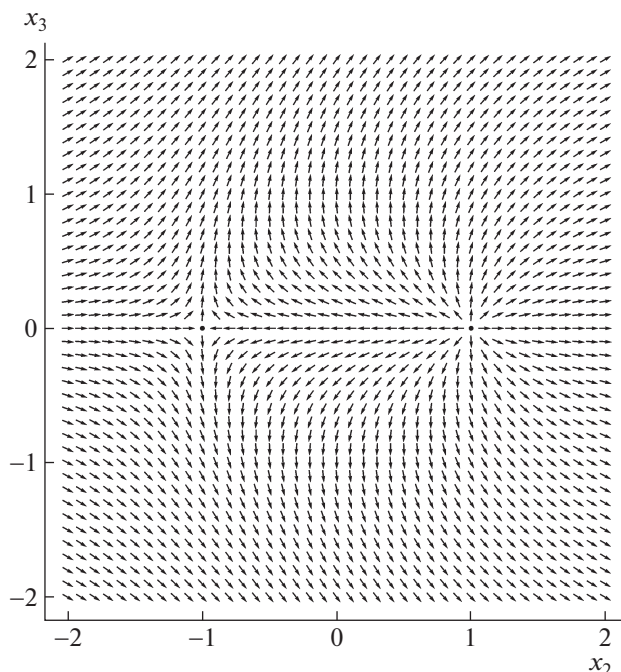


Рис. 1. Распределение вектора  $Z$  в плоскости  $x_1 = 0$ .

$$Q = \frac{1}{2\pi} \oint_{\gamma} \nabla \Phi d\mathbf{r}, \quad (18)$$

равным единице. Здесь  $\gamma$  – произвольный замкнутый контур, охватывающий центр кольца. Интегрирование производится против часовой стрелки. Наиболее простой вид формула (17) имеет на контуре  $\gamma$  вблизи центра вихря:

$$z = p \sin \Psi,$$

$$r = A + p \cos \Psi \quad (0 < \Psi < 2\pi, p \ll 1).$$

Тогда  $\Phi \rightarrow \Psi$  при  $p \rightarrow 0$ . Структура вихрей более наглядна в распределении векторного поля  $Z = (\cos \Phi, \sin \Phi)$ . Это поле в плоскости  $x_1 = 0$  при  $A = 1$  изображено на рис. 1. Ясно видна структура вихря при  $x_3 = 0, x_2 = 1$  и антивихря при  $x_3 = 0, x_2 = -1$ .

Отметим, что предложенная в этом сообщении процедура обобщается на точные решения в

$D = 4$ . Соответствующие результаты будут изложены в другом месте.

#### БЛАГОДАРНОСТИ

Автор глубоко признателен А.А. Протогенову и В.В. Соколову за обсуждения и полезные замечания, Д.Б. Долгих за неоценимую помощь при подготовке рукописи.

#### ИСТОЧНИК ФИНАНСИРОВАНИЯ

Работа выполнена в рамках государственного задания Минобрнауки России (тема “Квант”, номер регистрации АААА-А18-118020190095-4).

#### СПИСОК ЛИТЕРАТУРЫ

1. Протогенов А.П. Узлы и зацепления распределений параметра порядка в сильнокоррелированных системах // УФН. 2006. Т. 176. № 7. С. 689–715. <https://doi.org/10.3367/UFNr.0176.200607a.0689>
2. Belavin A.A., Polyakov A.M., Schwartz A.S., et al. Pseudoparticle Solutions of the Yang–Mills Equations // Phys. Lett. B. 1975. V. 59. № 1. P. 85–87. [https://doi.org/10.1016/0370-2693\(75\)90163-X](https://doi.org/10.1016/0370-2693(75)90163-X)
3. Actor A. Classical solutions of SU(2) Yang–Mills Theory // Rev. Mod. Phys. 1979. V. 51. № 3. P. 461–525. <https://doi.org/10.1103/RevModPhys.51.461>
4. Faddeev L.D., Niemi A.J. Partially Dual Variables in SU(2) Yang–Mills Theory // Phys. Rev. Lett. 1999. V. 82. № 8. P. 1624–1627. <https://doi.org/10.1103/PhysRevLett.82.1624>
5. Cho Y.M. Restricted Gauge Theory // Phys. Rev. D. 1980. V. 21. № 4. P. 1080–1087. <https://doi.org/10.1103/PhysRevD.21.1080>
6. Курант П. Уравнения с частными производными. М.: Мир, 1964. 830 с.
7. Дубровин Б.А., Новиков С. П., Фоменко А.Т. Современная геометрия. М.: Наука, 1979. 760 с.
8. Корн Г., Корн Т. Справочник для научных работников и инженеров. М.: Наука, 1978. 832 с.
9. Protogenov A.P. Exact Classical Solutions of Yang–Mills Sourceless Equations // Phys. Lett. B. 1977. V. 67. № 1. P. 62–64. [https://doi.org/10.1016/0370-2693\(77\)90806-1](https://doi.org/10.1016/0370-2693(77)90806-1)

## NEW TYPES OF SOLUTIONS FOR THE CLASSIC 3D SU(2) YANG–MILLS EQUATIONS

Corresponding Member of the RAS A. B. Borisov<sup>a,b</sup>

<sup>a</sup> M.N. Mikheev Institute of Metal Physics of the Ural Branch of the Russian Academy of Sciences, Yekaterinburg, Russian Federation

<sup>b</sup> Ural Federal University, Yekaterinburg, Russian Federation

New types of 3D solutions for the classic Yang–Mills equations in the Faddeev–Niemi reformulation are found. In a particular case, these solutions describe 3D vortices.

**Keywords:** Yang–Mills theory, duality equation, Faddeev–Niemi reformulation, gauge fields